

Laboratoire commun ANR- PME

INSA Lyon – LaMCoS UMRS CNRS 5259 et DrillScan

## Intégrité des trains de tiges de forage

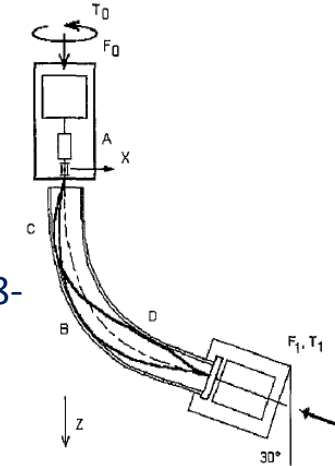
Lionel Manin, Régis Dufour

AFM- Commission Machines Tournantes

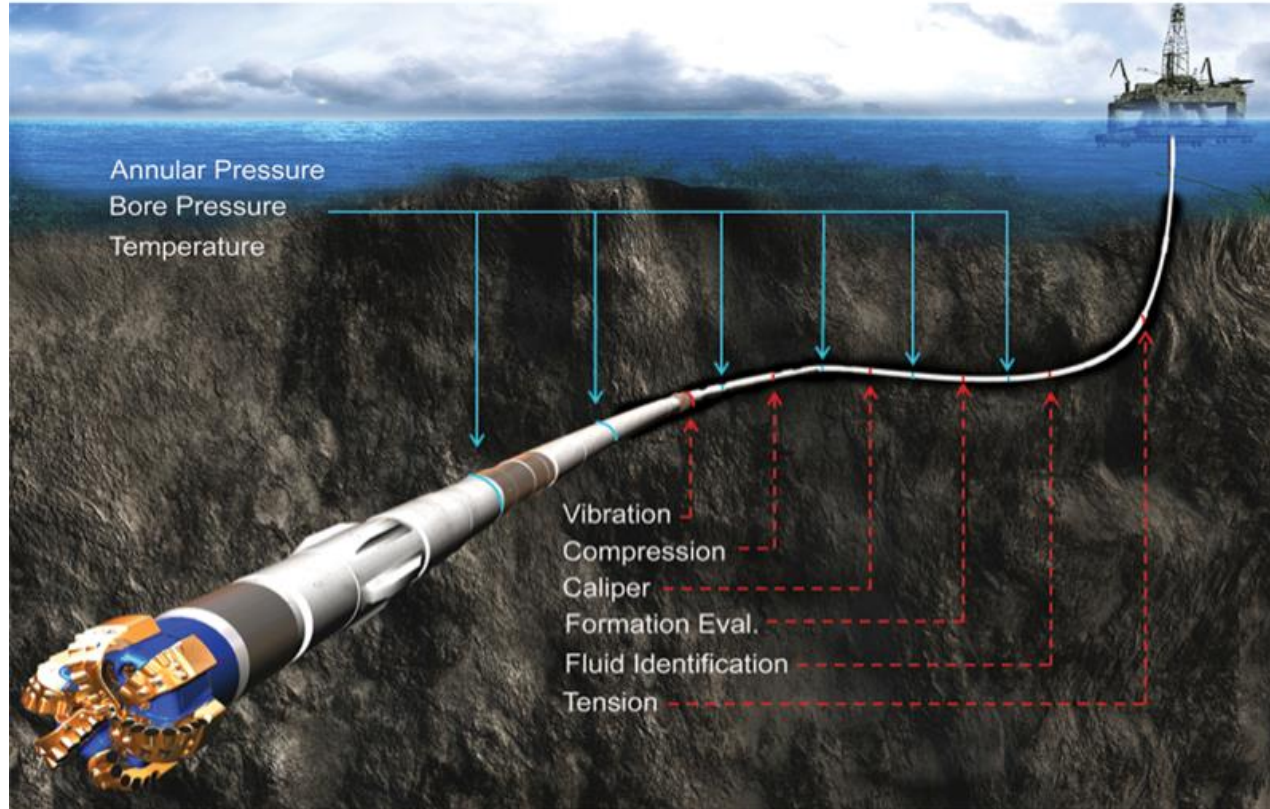
Vibratec, 5 juin 2018

## Contexte et genèse

- **Sujet:** Simulation du comportement dynamique non linéaire de train de tiges de forage pour l'extraction pétrolière ou géothermique
- **Partenaires:**
  - **LaMCoS**
    - ✓ Dynamique des rotors (Activité historique depuis 1978),
    - ✓ Dynamique du forage (Dynafor 1989-1996, Elf-Total).
    - ✓ Dynamique NL des systèmes câble-gaine (Commande de BV, Renault 2008-2012).
    - ✓ Touches rotor-stator:  
(CIFRE EDF Peletan-2012, CIFRE Turbomeca Duran-2014, CEA Xie-2016))
  - **DrillScan**
    - ✓ PME, éditeur indépendant de suite logiciels de simulation du forage.
    - ✓ Forte culture R&D pilotée par des docteurs
    - ✓ Compréhension complète des interactions entre les éléments du triptyque  
« Roche – Outil de forage – Garniture de forage »

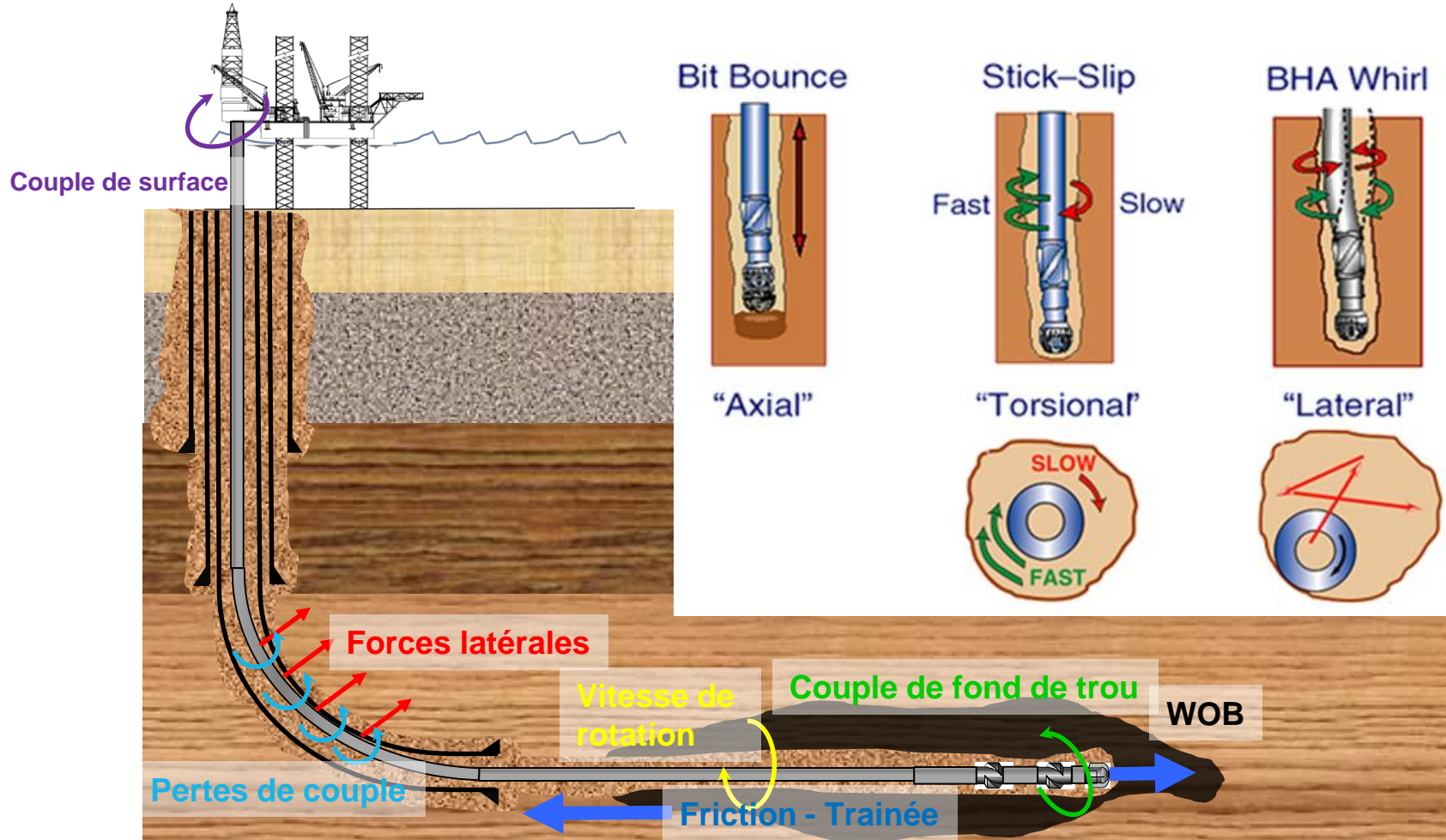


# Le forage...



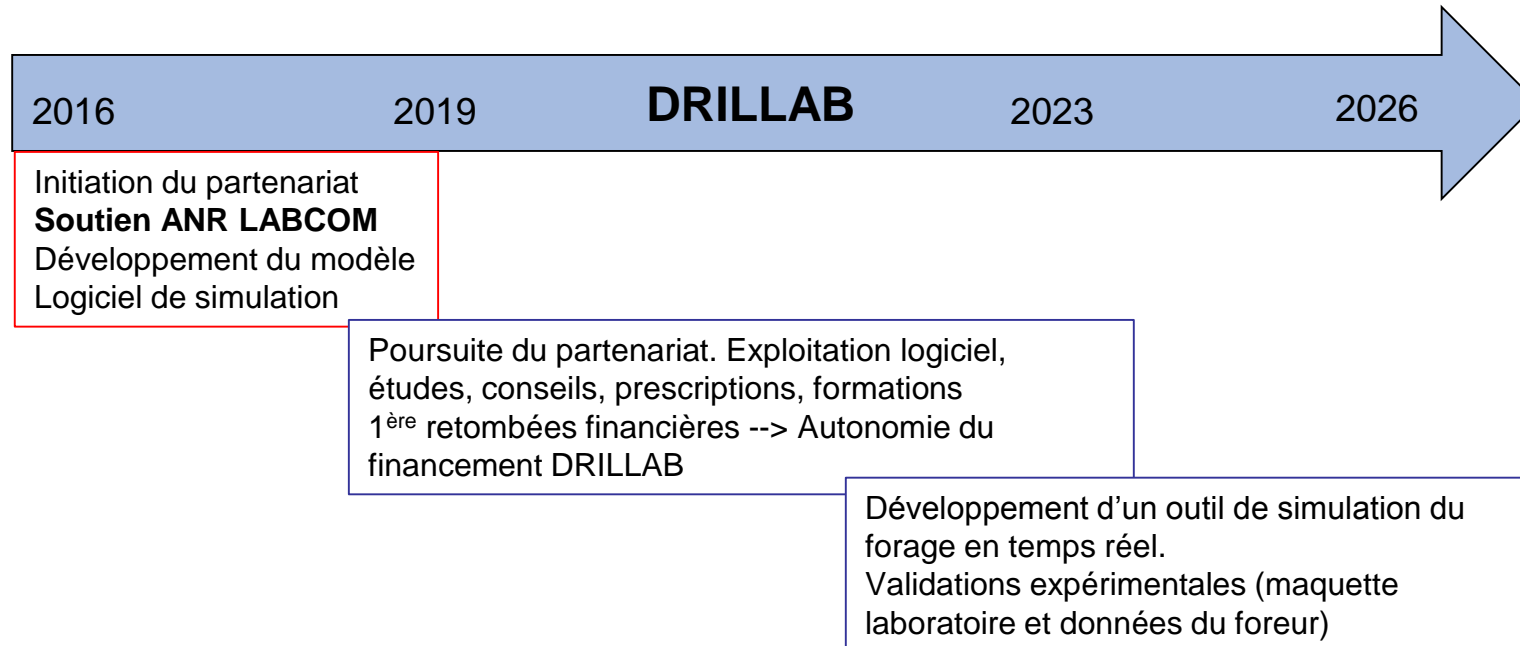
# Contexte

## Interactions Roche – Outil – Boue - Garniture



# Objectifs

- **Enjeux** liés à l'intégrité des puits → améliorer la fiabilité, le MTBF
  - Compréhension des phénomènes vibratoires
  - Développement de modèles non linéaires pour simuler le comportement dynamique de train de tiges de forage en 'temps réel'
  - Maîtrise du comportement par des paramètres de contrôles : tension, vitesse de rotation



# Feuille de route

## ■ Développements scientifiques (1 Thèse et 1 post-doc)

### Modèle de calcul avec prise en compte:

- la géométrie 3D du puits, la gravité, la poussée d'Archimède de la boue...
- les frottements et impacts des tiges contre la garniture du puits et contre la roche, les précontraintes variables dues aux tensions et aux compressions,
- les balourds, les couples (TOB) et forces axiaux (WOB) de l'outil, le couple moteur.

### Modélisation par la méthode des éléments finis:

- position d'équilibre statique du train de tiges dans le puits avec interactions tige/puits. Formulation co-rotationnelle
- analyse modale linéaire pour plusieurs vitesses de rotation: diagramme de Campbell, stabilité des modes en précessions directe et inverse
- cartes d'instabilité du train de tige soumis aux seules excitations axiales de l'outil
- régime transitoire avec des interactions non linéaires tige-puits évolutives
- régime stationnaire



# Moyens

- Moyens humains

Dr. Lionel Manin, MCF, Responsable de DrillLab	LaMCoS
Dr. Stéphane Menand, Pt DrillScan	DrillScan
Quang Thinh Tran, Doctorant	DrillLab
Dr. Khac Long Nguyen, Post-doctorant (2 ans)	DrillLab
Dr. Marie Ange Andrianoely, IR CNRS	LaMCoS
Pr. Régis Dufour	LaMCoS
Dr. Sébastien Baguet , MCF	LaMCoS
Dr Ngoc-Ha.Dao	DrillScan
Benjamin Nobbs, Ingénieur	DrillScan
Zahia Achoui, support administratif	LaMCoS

- Moyens de calcul → Clusters de calcul LaMCoS & DrillScan
- Gouvernance → Copil, Comité consultatif (experts), Bureau exécutif

## Illustrations de phénomènes critiques...

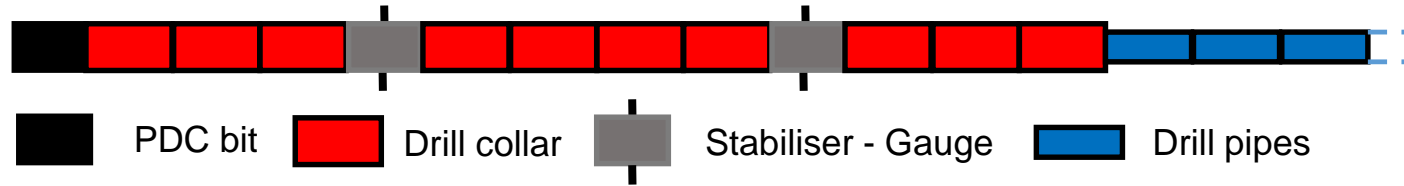
### Stick-Slip



### Vibrations latérales, précessions

Rolling Shock

## Modèle éléments finis de tiges de forage



Type	Length (m)	OD (m)	ID (m)	Gauge (m)
PDC bit	0.5	-	-	0.2159
Drill collar	10	0.159	0.071	-
Stabiliser	5	0.159	0.071	0.2159
Drill pipes	9.5	0.127	0.108	-
Total	1800			

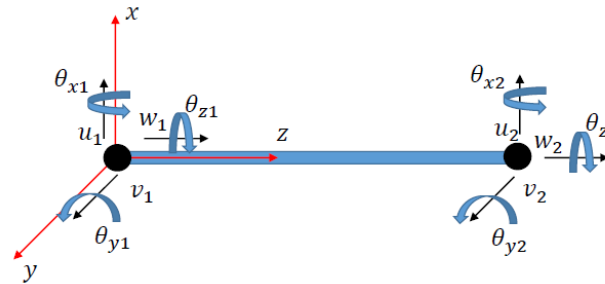
### Material

$\rho$ (kg/m <sup>3</sup> )	$E$ (Pa)	$\nu$
7900	$2.1 \times 10^{11}$	0.3

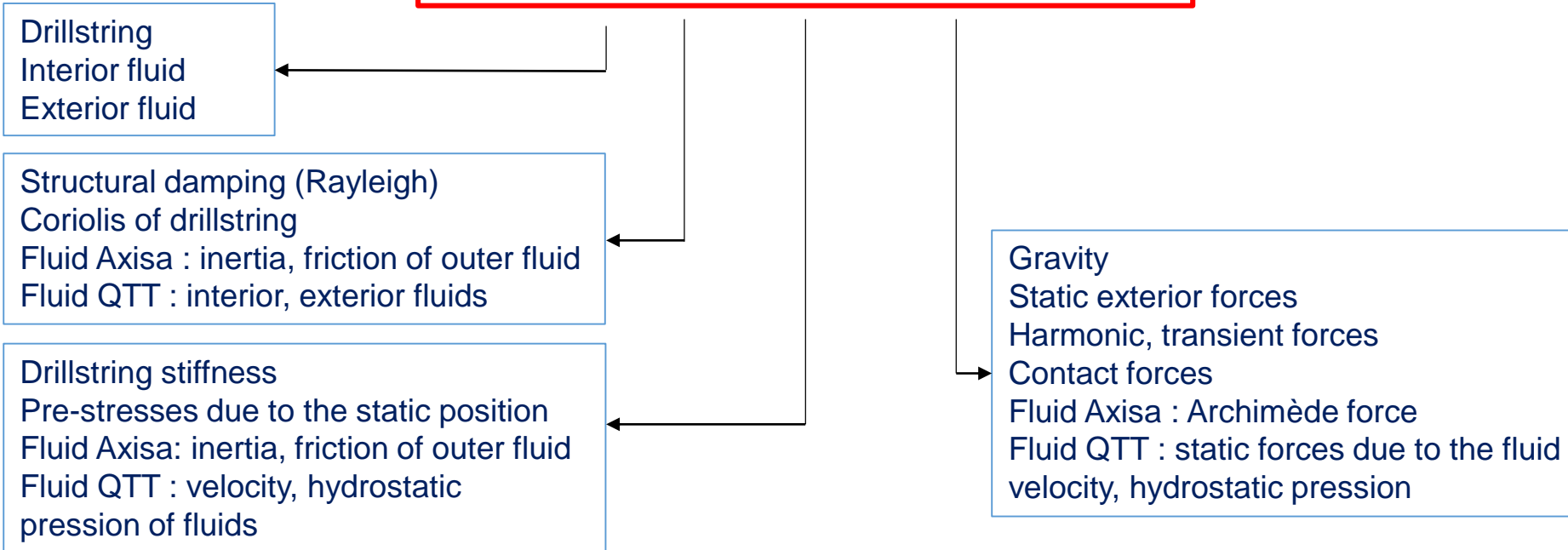
### Tool joint

Length (m)	OD (m)	ID (m)
0.3	0.162	0.095





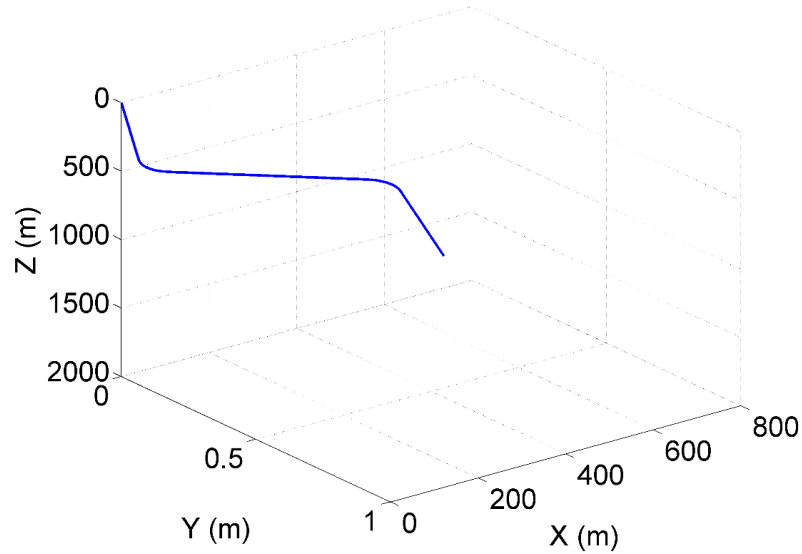
$$\mathbf{M}\ddot{\boldsymbol{\delta}} + \mathbf{C}(\Omega)\dot{\boldsymbol{\delta}} + \mathbf{K}(\Omega)\boldsymbol{\delta} = \mathbf{F}(t, \boldsymbol{\delta}, \dot{\boldsymbol{\delta}})$$



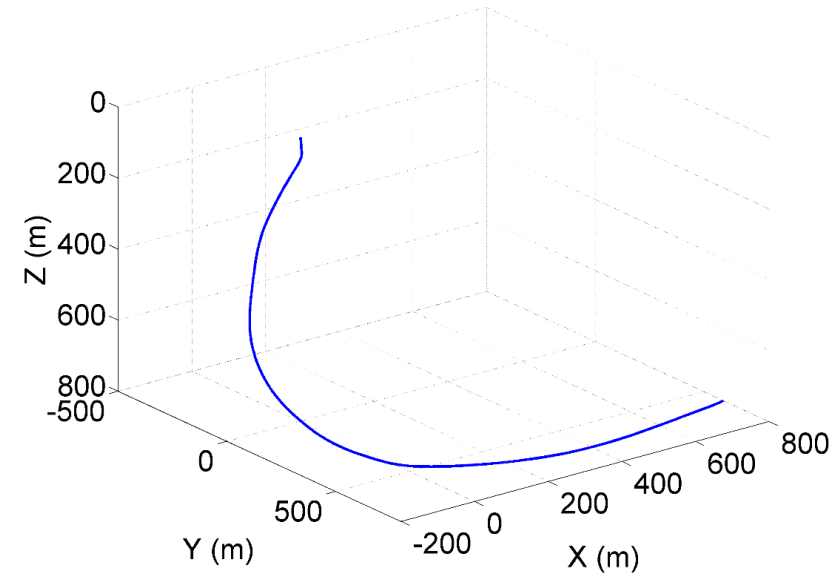
Initial condition :  $\boldsymbol{\delta}(t_0) = \boldsymbol{\delta}_0, \dot{\boldsymbol{\delta}}(t_0) = \dot{\boldsymbol{\delta}}_0$  + Boundary condition + Rotating speed imposed at some nodes (optional)

## Part A – Static equilibrium in the well

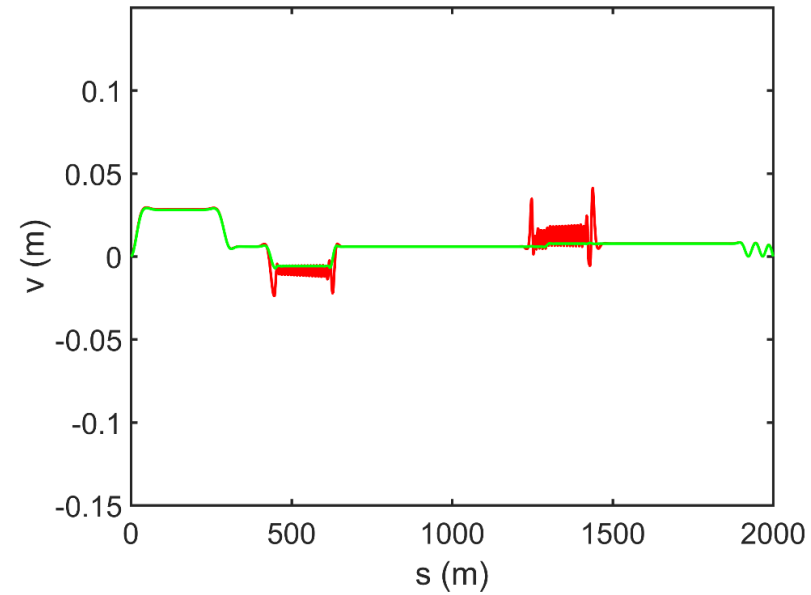
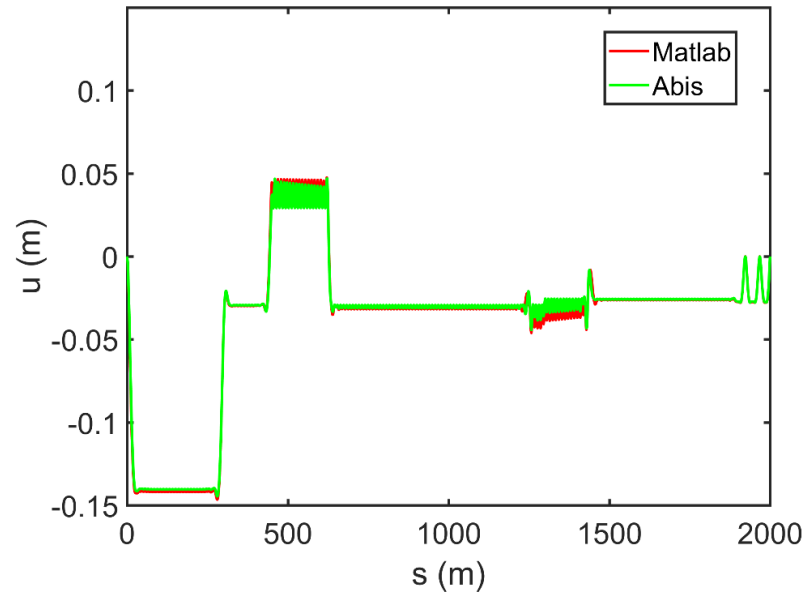
### 2D-S well geometry



### 3D well geometry

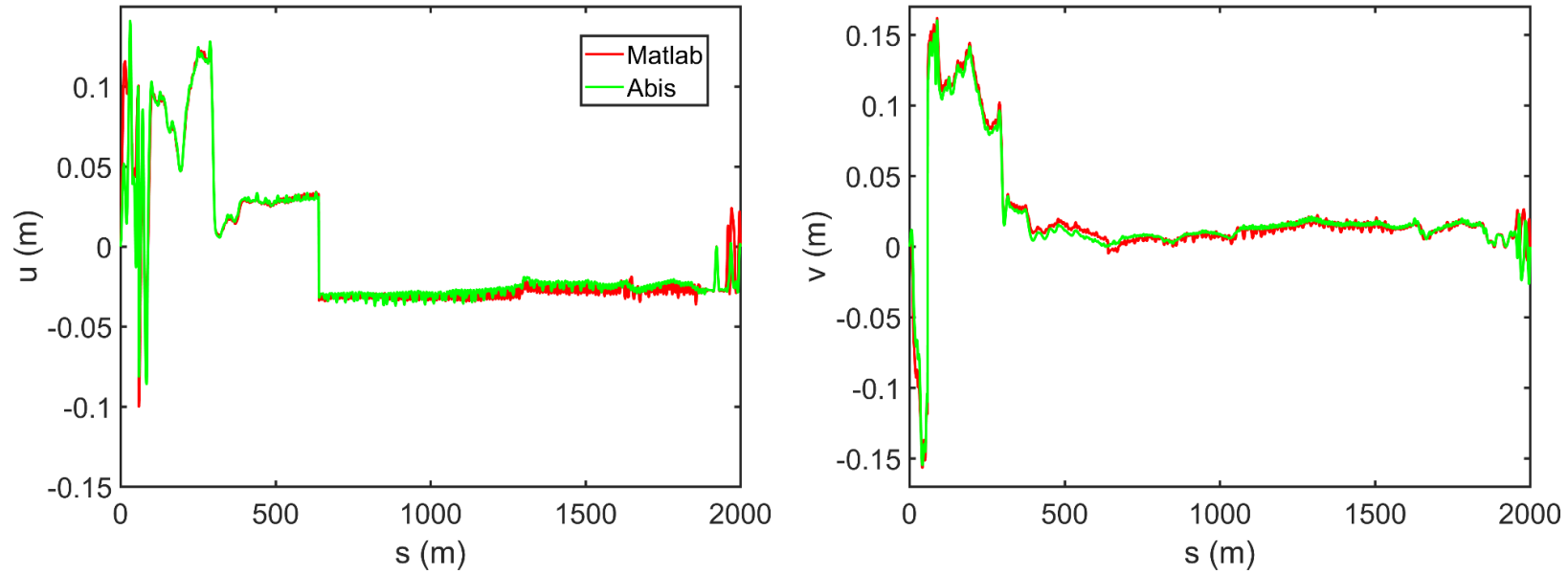


## 2D-S geometry

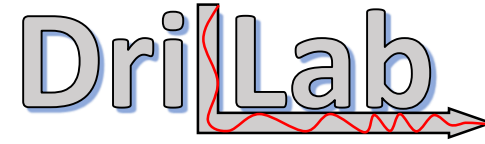


Lateral displacements  $u$  and  $v$  in local frame

## 3D geometry



Lateral displacements  $u$  and  $v$  in local frame

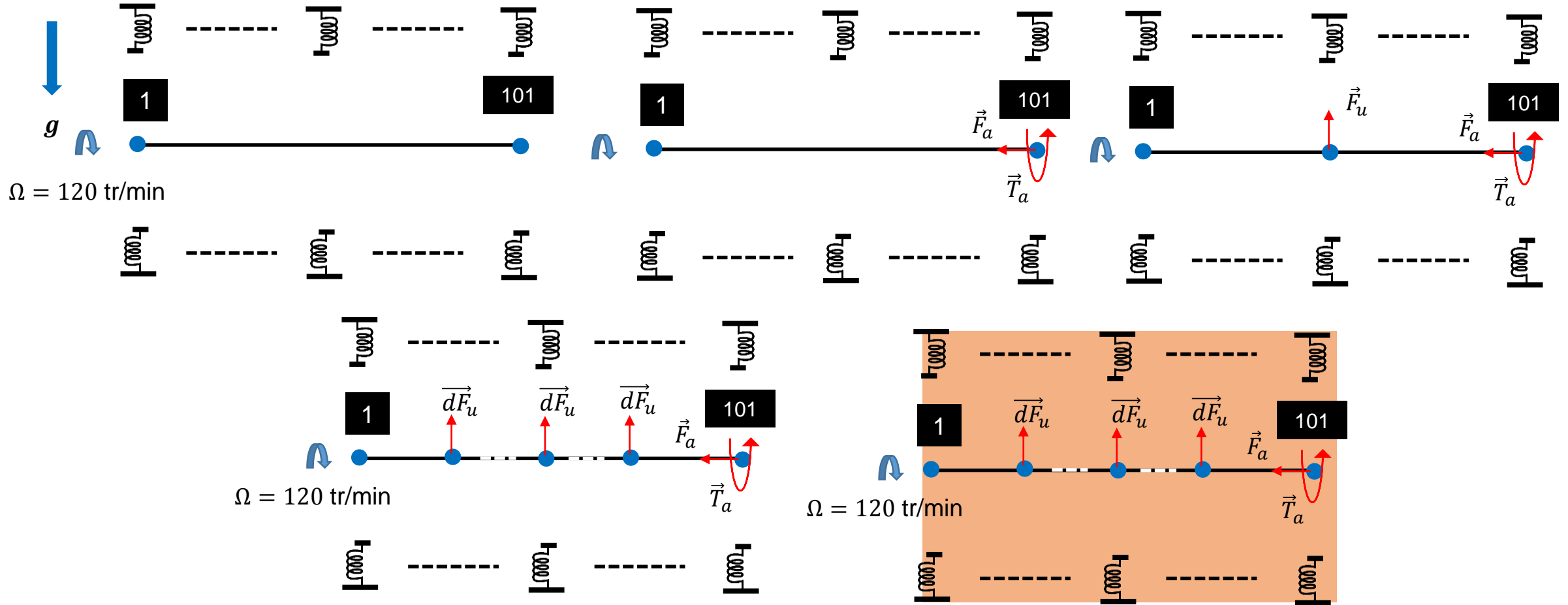


# Partie B – Nonlinear dynamics

## Craig & Bampton reduction

# Test cases

# Horizontal string



- 1** 3 displacements blocked
- 101** Lateral displacements blocked

Fluid

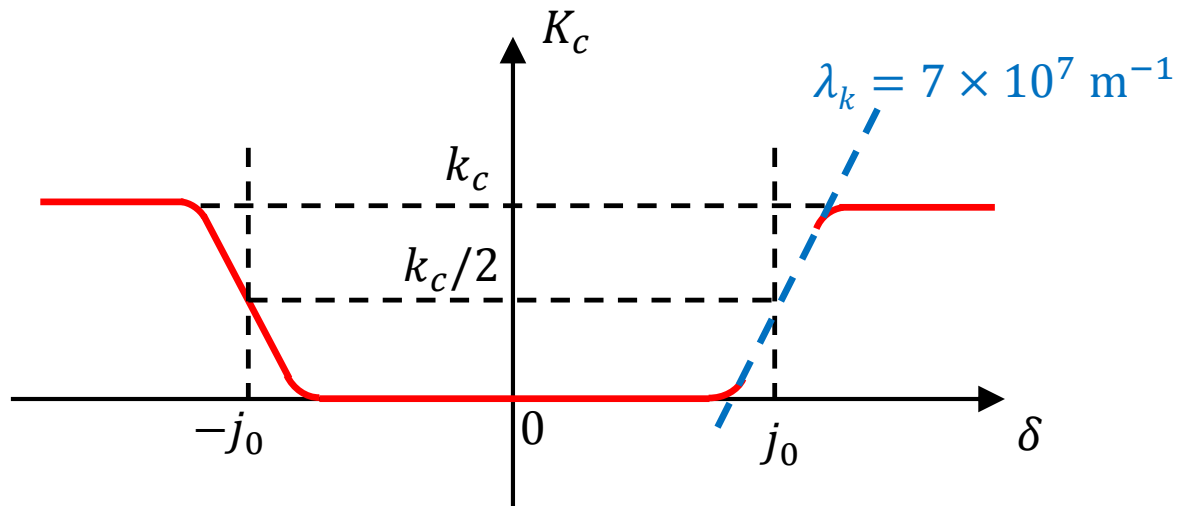
## Beam

$\rho$ (kg.m <sup>-3</sup> )	$E$ (Pa)	$\nu$	$L$ (m)	$R_e$ (m)	$R_i$ (m)	$c_M$ (s <sup>-1</sup> )	$c_K$ (s)
7900	2.03 10 <sup>11</sup>	0.3	100	0.06	0.04	0.03	0

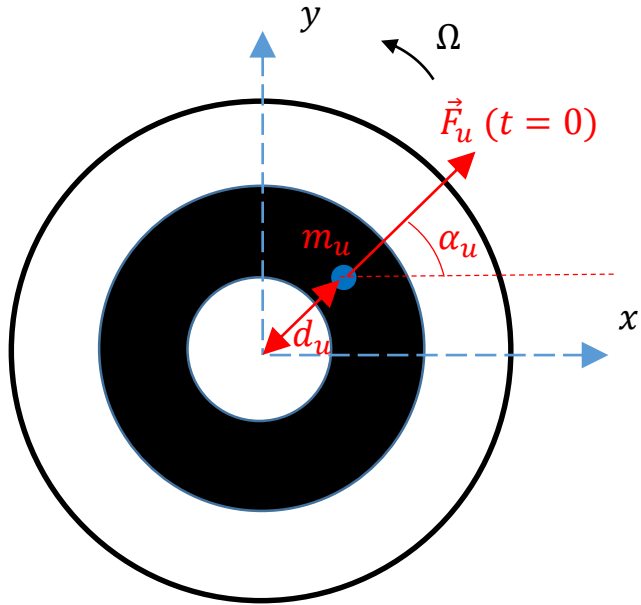
- $\Omega$  constant = 120 rpm

## Elastic stop

$k_c$ (N/m)	$j_0$ (m)	$\lambda_k$ (m <sup>-1</sup> )	$c_c$ (N/(m/s))	$\lambda_c$ (m <sup>-1</sup> )	$\mu_d$	$\mu_s$	$v_{ref}$
10 <sup>7</sup>	0.01	7 10 <sup>7</sup>	10 <sup>4</sup>	7 10 <sup>4</sup>	0.1	0.2	0.033



$$K_c(\delta) = \frac{k_c}{2} \left[ \frac{2}{\pi} \arctan(\pi \lambda (|\delta| - j_0)) + 1 \right]$$



**Mass unbalance force**

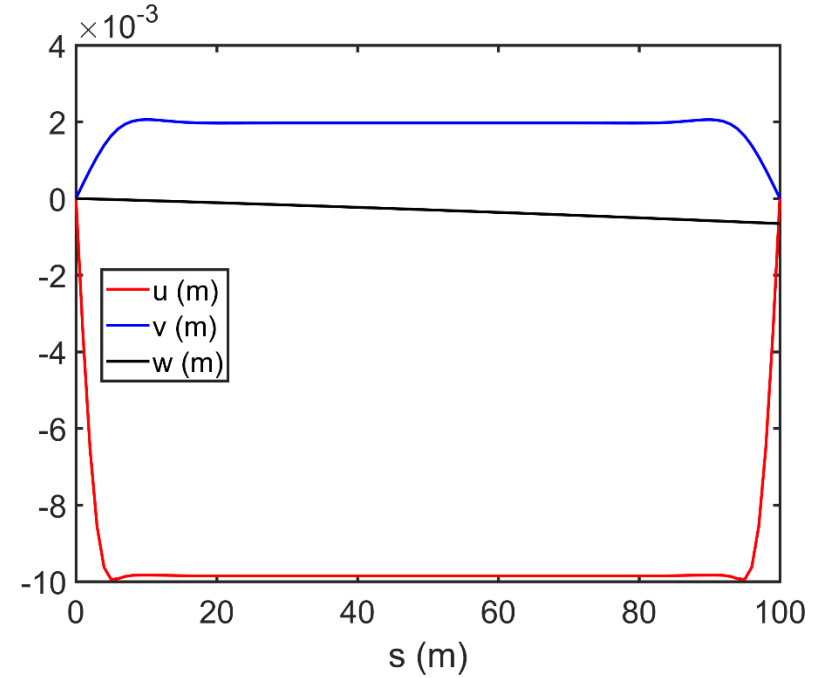
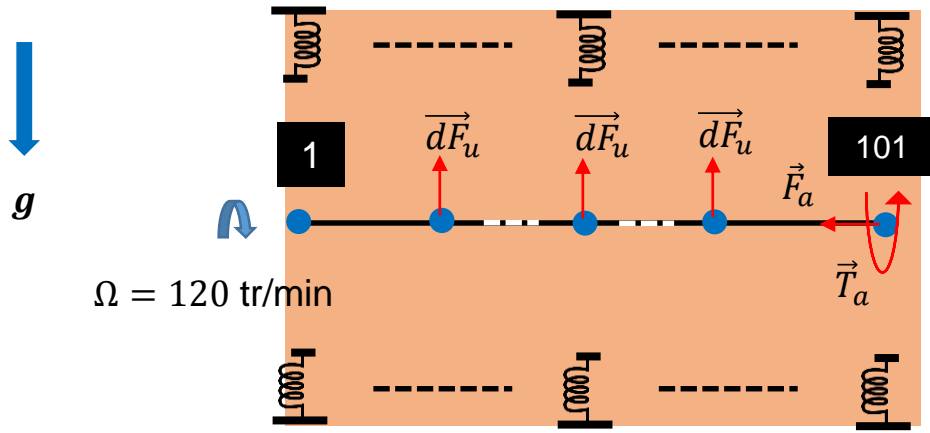
$$\vec{F}_u(t) = \begin{bmatrix} m_u d_u \Omega^2 \cos(\Omega t + \alpha_u) \\ m_u d_u \Omega^2 \sin(\Omega t + \alpha_u) \\ 0 \end{bmatrix}$$

**Mass unbalance localized at node 51**

$m_u$ (kg)	$d_u$ (m)	$\alpha_u$ (°)
10	0.055	0

**Mass unbalances distributed at 9 nodes 11,21,...,91**

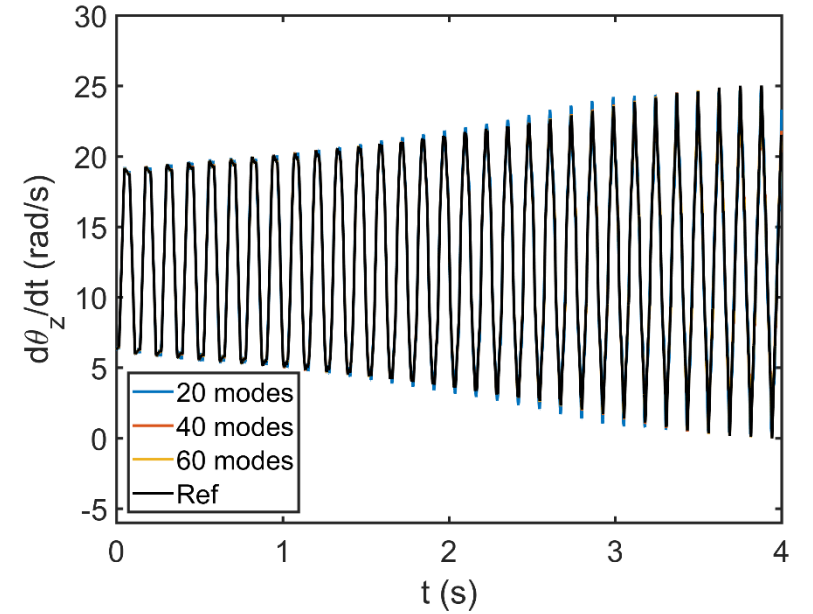
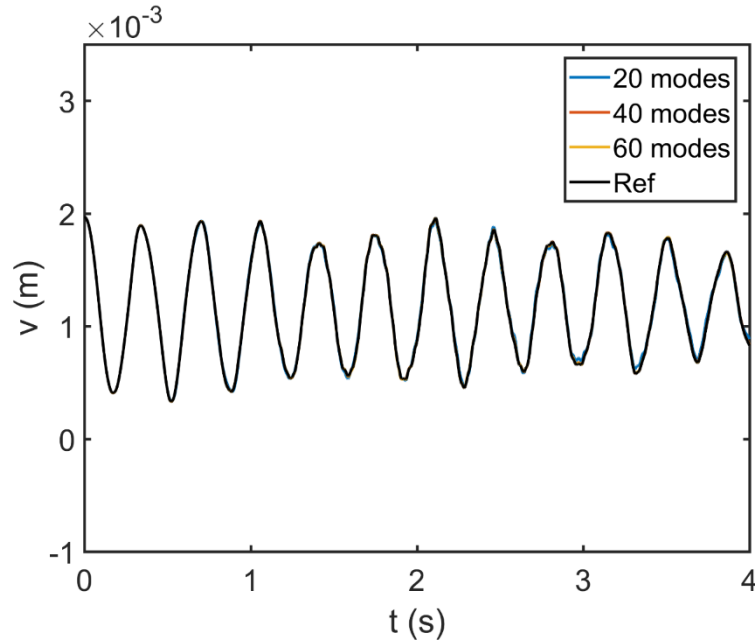
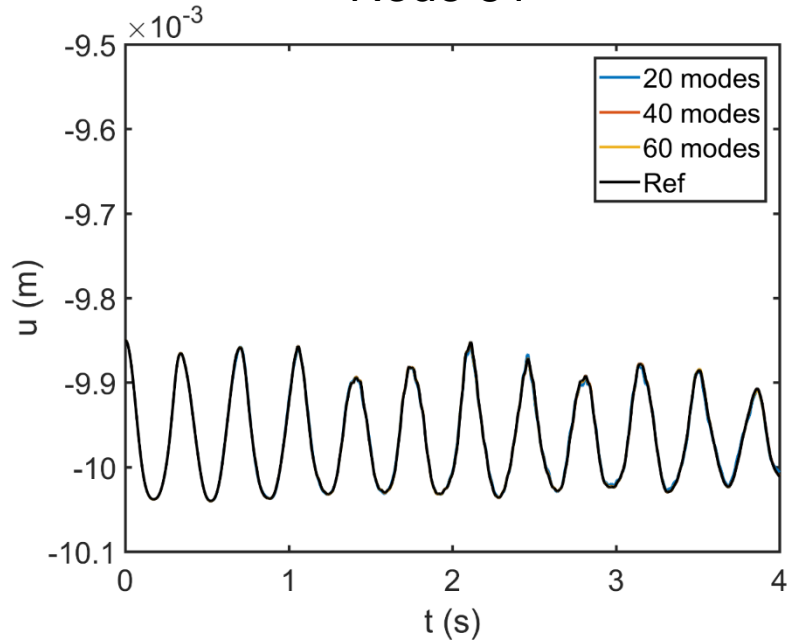
$dm_u$ (kg)	$d_u$ (m)	$\alpha_u$ (°)
1.11	0.055	0



Static position: 91 contact nodes  
 Axial displacements due to  $\vec{F}_a$

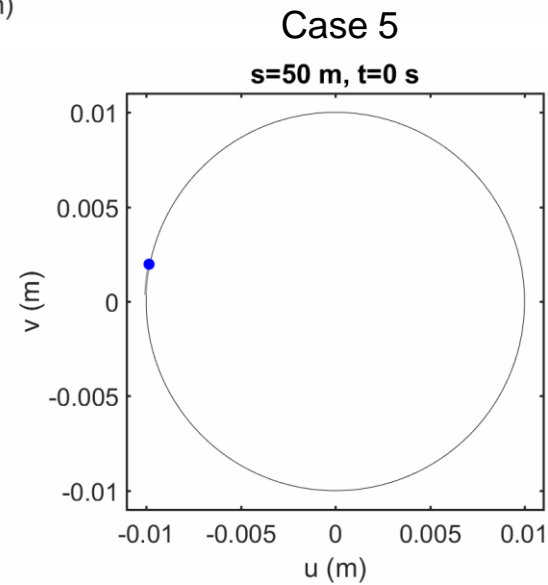
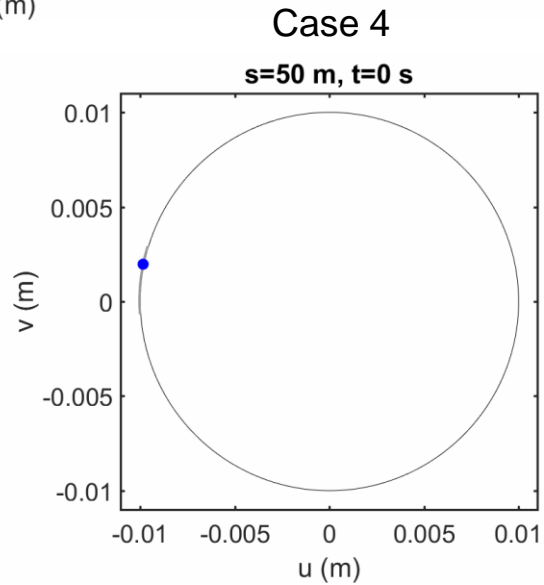
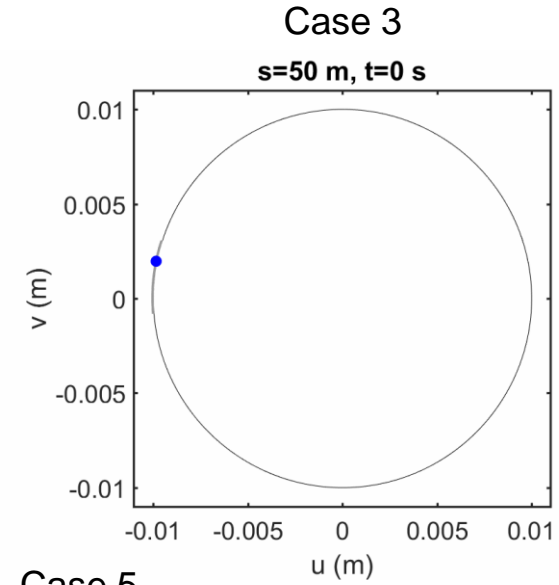
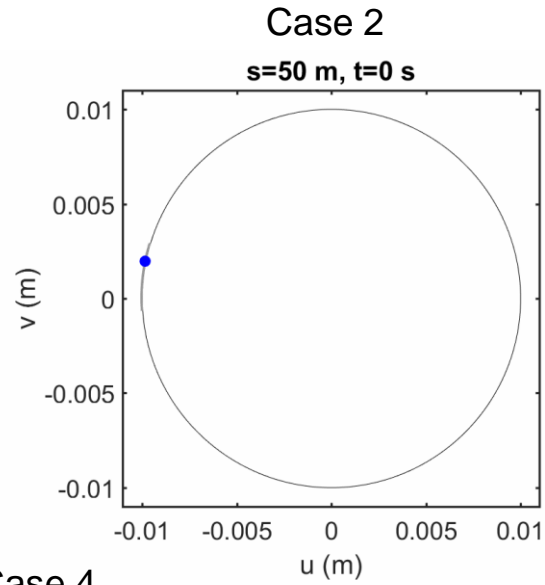
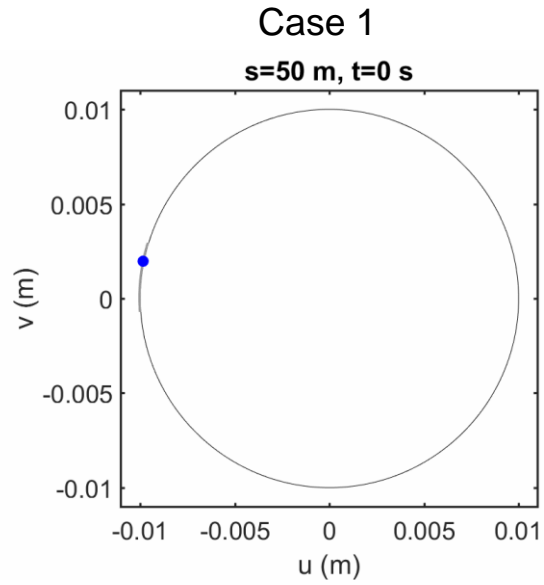
- 1** 3 displacements blocked
- 101** Lateral displacements blocked

Node 51



Ref.	20 modes	40 modes	60 modes
311.24 s	32.88 s	43.95 s	51.07 s

Node 51  
60 modes



Node 51  
60 modes

